

ساخت و بررسی رفتار رئولوژیکی پیشرانه ژل دی متیل هیدرازین نامتقارن

علی صابری مقدم^{*}، نسیله حاجیلری^۲، مرتضی محمدی^۳

تهران - دانشگاه صنعتی مالک اشتر

چکیده

پیشرانه‌های ژل، شکل بهبود یافته‌ی پیشرانه‌های مایع هستند که نسبت به پیشرانه‌های مایع، مزایایی چون ایمنی بالاتر، فشار بخار کمتر، قابلیت پذیرش مواد پرانرژی جامد و قابلیت انبارداری آسان تر را دارا هستند. در این مقاله با استفاده از عامل ژل کننده متیل سلولوز (MC) و در شرایط مناسب، ژل سوخت ارزشمند دی متیل هیدرازین نامتقارن (UDMH) تهیه شد و ژل‌های ساخته شده از نظر رئولوژیکی مورد ارزیابی قرار گرفتند. آزمایش‌ها نشان داد که ژل‌های ساخته شده با ۷/۵ درصد ژل کننده، رفتار رئولوژیکی بهتری را نسبت به سایرین داشتند. نتایج رئولوژیکی با مدلی تعیین یافته از نوع "پاورلا" در دماهای مختلف، هماهنگی خوبی نشان داد. ژل‌های ساخته شده تحت شتاب ۵۰۰۸ برای مدت ۳۰ دقیقه پایداری خوبی نشان دادند.

واژه‌های کلیدی: UDMH-MC، پیشرانه، ژل، رئولوژی.

سیستم، برطرف گردد. این مزایا شامل دانسیته بالاتر نسبت به پیشرانه مایع و انرژی بالاتر (با افزودن مواد پرانرژی) نسبت به هر دو سیستم پیشرانه متعارف مایع و جامد، بهبود در ایمنی انبارداری [۱]، کاهش خطرات اشتعال، سمیت کمتر، کاهش نشتی پیشرانه در مخازن نگهدارنده [۲-۳]، رفع مشکلات تلاطمی^۴ در مخازن در هنگام مانور موشك و قابلیت مدیریت هوشمند تراست

۱. مقدمه

پیشرانه‌های مایع، بدليل مزایای منحصر بفردی که دارند، در سطح وسیعی در انواع موشك‌ها استفاده می‌شوند. پیشرانه‌های ژل، حالت بهبود یافته‌ی پیشرانه‌های مایع هستند. در پیشرانه‌های ژل، تلاش شده است تا مزایای هر دو سیستم پیشرانه مایع و جامد، تامین شده و تا حد زیادی نواقص هر دو

۴- sloshing

* E-mail: saberi_mog@yahoo.com

۱- استادیار دانشگاه صنعتی مالک اشتر

۲- دانشجوی کارشناسی ارشد

۳- کارشناس ارشد

تحت سرعت برشی ثابت)، رفتار نازک‌شوندگی برشی^۱ (کاهش ویسکوزیته ژل با افزایش سرعت برشی) و پایداری (عدم رسوب ذرات جامد در طول انبارداری، جابجایی و یا اعمال شتاب و حفظ همگنی ژل) مورد مطالعه قرار گرفتند. نمونه‌های ساخته شده از نظر میزان انرژی با استفاده از کالریمتری ارزیابی شدند و ایمپالس ویره^{۱۱} و دانسیته آنها نیز مشخص شد که خواص حاصله با خواص UDMH ژل نشده، مورد مقایسه قرار گرفته اند.

۲. روش انجام آزمایش‌ها

از آنجا که UDMH ماده‌ای سمی و خطرناک و دارای نقطه جوش نسبتاً پایین (b.p=63°C) است، قبل از وارد شدن به آزمایشات اصلی، ضروری است که ابتدا سیستم آزمایشگاهی با یک سیمولنت^{۱۲} مناسب مورد ارزیابی قرار گیرد و تست‌های رئولوژیکی نیز برای آن انجام شود و پس از اطمینان از مناسب بودن سیستم آزمایشگاهی، آزمایشات برای ساخت ژل UDMH، پی‌گیری گردد. آزمایشات اولیه، نشان داد که سیمولنت H₂O می‌تواند برای این منظور استفاده شود، لذا سیمولنت ژل H₂O با درصدهای مختلف ژل کننده و شرایط مختلف دمایی و مکانیزم‌های مختلف هم زدن ساخته شد تا مناسب ترین شرایط کاری چه از نظر آزمایشات ساخت ژل و چه از نظر تست‌های رئولوژیکی تأمین گردد [۱۷]. در انجام آزمایشات ساخت ژل UDMH، از سیستم آزمایش فوق، استفاده شد و با توجه به سمیت UDMH و فشار بخار بالایی که این مایع دارد، آزمایشات ساخت ژل UDMH در یک ظرف واکنش در بسته که مانع خروج UDMH از ظرف شده و از ورود هوا نیز به سیستم جلوگیری می‌کرد صورت گرفت. با توجه به تمایل شدید UDMH به جذب رطوبت و اکسیژن هوا، برای جلوگیری از اکسیداسیون، در ابتدا و انتهای عمل ژلاسیون، گاز نیتروژن اضافه شد و سیستم با آن شستشو گردید. سوخت مایع به داخل ظرف اختلاط فرستاده شد و دمای آن بین ۱۵-۲۰°C ثابت نگه داشته شد. عامل ژل کننده، به آرامی و در طی مدت ۱۰-۳۰ دقیقه همراه با هم زدن به سوخت اضافه شد و عمل اختلاط به مدت ۴۵-۶۰ min انجام شد. سپس مواد داخل راکتور، به منظور توسعه و تکمیل عمل ژل شدن، برای مدت یک شب، دست نخورده باقی ماند.

۱۰- Shear Thinning

۱۱- Specific Impulse

۱۲- Simulant

می‌شود. در بین پیشرانه‌های ژل، ساخت پیشرانه‌ی ژل دی متیل هیدرازین نامتقارن^۱ (UDMH) به دلیل ^۱ مناسب، قابلیت آتش‌گیری خودبخود^۲ با اکسیدکننده، واکنش‌پذیری^۳ بسیار خوب و عدم نیاز به تکنولوژی خیلی پیچیده برای بکارگیری، در سطح وسیع، مورد توجه محققان و مهندسان پیشرانه بوده است. UDMH، یک سوخت مایع قابل ذخیره می‌باشد که در سال ۱۹۵۰ به عنوان نوعی سوخت مناسب برای راکت‌های مایع سوز انتخاب گردید و از آن تاریخ به بعد بطور وسیع در سیستم‌های موشکی و پرتاب ماهواره مورد استفاده قرار گرفته است. با توجه به قابلیت‌هایی که UDMH دارد در سالهای اخیر تلاش زیادی در جهت ژل سازی آن و تهیه سوخت ژل UDMH صورت گرفته است [۴-۸].

محققین از متیل‌سلولز^۴ [۹، ۸، ۷، ۶، ۴]، هیدروکسی اتیل سلولز^۵ [۱۰، ۱۳]، SiO₂، سیلیکای کلریدی [۱۰-۱۳]، آگار-آگار^۶ [۱۳، ۱۲، ۱۴-۱۶] و هیدروکسی متیل‌سلولز^۷ (HMC) [۵] و سایر عوامل ژل کننده، به منظور ساخت ژل UDMH استفاده کرده‌اند [۱۲]. محققین، ژل کننده متیل‌سلولز را عنوان یکی از مناسب‌ترین عوامل برای ژل سازی UDMH معرفی کرده‌اند [۸، ۷، ۶]. گزارش شده که این ژل کننده با درصد کمتر از بقیه عوامل ژل کننده‌ای که برای ژل کردن UDMH استفاده شده است، ژل‌های بسیار پایدار و خوبی ارایه داده است. همچنین ادعا شده که رفتار ژل‌های حاصل از ژل کننده MC با مدل ساده رئولوژیکی مانند پاولر^۸ (PL) قابل تفسیر و تجزیه و تحلیل است که امتیاز بسیار مهمی از نظر مدل‌سازی نتایج و قابلیت پیش‌بینی رفتار ژل، محسوب می‌شود [۵]. در این تحقیق با استفاده از ژل کننده MC که دارای اندازه متوسط ذرات ۶۳ میکرون بود، ژل‌های UDMH با درصد‌های مختلف ژلت ساخته شد و مناسب ترین درصد ژل کننده، که ژلی پایدار و با ویسکوزیته‌ی مناسب ارائه می‌داد، مشخص گردید. ژل‌های ساخته شده از نظر رفتار رئولوژیکی، تشکیل حلقه هیستریس (قابلیت بازگشت‌پذیری ژل، پس از اعمال سرعت برشی)، رفتار تیکسوتروپیک^۹ (تغییر ویسکوزیته ژل با زمان

۱- Unsymmetrical Di Methyl Hydrazine

۲- Haypergolity

۳- Reactivity

۴- Methyl Cellulose

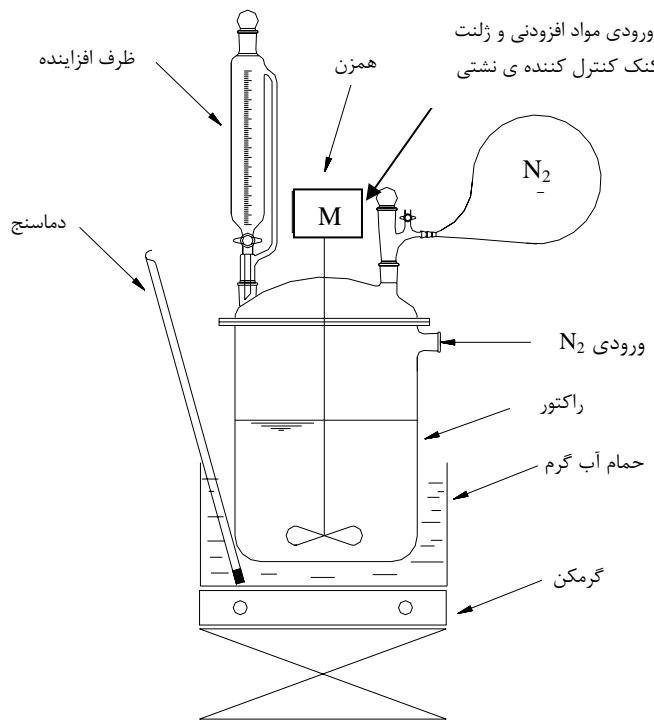
۵- Hydroxy Ethyl Cellulose

۶- Agar-Agar

۷- Hydroxy Methyl Cellulose

۸- Power low

۹- Thixotropic



شکل ۱- سیستم آزمایشگاهی ساخت ژل UDMH

سطح، وسط و عمق هر بچ^۲ از ژل‌های ساخته شده و سپس توزین و مقایسه میزان درصد باقیماندهٔ خشک آنها با هم، بعد از اینکه در دما، خلاء و مدت زمان مناسب خشک گردید، انجام گرفت. بررسی پایداری ژل با سانتریفیوژ کردن نمونه‌ها در شتاب ۵۰۰ g برای مدت ۳۰ دقیقه نیز انجام شد تا از همگن بودن ژل، در نقاط مختلف تودهٔ ژلی، اطمینان حاصل شود. این سانتریفیوژ، ساخت شرکت Hettich آلمان و مدل EBA3S بود. برای اندازه‌گیری گرمای احتراق نمونه‌های ژل UDMH ساخته شده، از بمب کالریمتر مدل IKA-C4000A استفاده شد. به منظور پی بردن به چگونگی تشکیل ساختار و پیوندهای شبکه ژلی، از میکروسکوپ نوری استفاده شد.

۳. نتایج و بحث

آزمایشات ساخت سیمولنت با آب مقطر تهیه شده در آزمایشگاه، ژل کننده متیل سولولز (MC) ساخت Aldrich به جرم مولکولی $M_w = 63000$ و ویسکوزیتهٔ ۱۵۰۰ cP (محلول ۲ درصد در آب) انجام شد. آزمایشات، ابتدا با ۲/۵ درصد ژل کننده انجام شد اما ژلی تشکیل نشد، لذا تصمیم به افزایش درصد عامل ژل کننده گرفته شد. نمونه (GF004) با ۱۰ درصد ژل کننده MC

به منظور جلوگیری از اکسیداسیون مواد داخل ظرف اختلاط توسط هوا، گاز نیتروژن به فازهای ابتدایی و انتهایی ژل‌سیون اضافه گشت. آزمایشات رئولوژیک بر روی ژل ساخته شده یک روز بعد انجام گرفت تا از فرآیند توسعه ژل اطمینان حاصل شده باشد. نمای ظرف و سیستمی که با آن ژل‌ها ساخته شده‌اند در شکل (۱) آورده شده که در آن، حجم ظرف حدود 200 cm^3 و به شکل استوانه‌ای و به قطر 5 cm می‌باشد.

برای انجام تست‌های رئولوژی، از دستگاه ویسکومتر Brookfield مدل LVDV-II + Pro که دارای ۴ نوع اسپیندل^۱ از نوع LV با شماره‌های ۱ الی ۴ بود استفاده شد. آزمایشات رئولوژیکی، با استفاده از دستگاه فوق و انتخاب اسپیندل مناسب انجام شد. ویسکوزیته سیال در سرعت‌های برشی مختلف و پس از دادن زمان کافی به دستگاه و پایدار شدن آن، گزارش گردیده است. در مطالعه‌ی اثر سرعت برشی بر ویسکوزیته، سرعت برشی از سرعت پایین به بالا (یک تا 70 rpm) تغییر داده شد. به منظور بررسی قابلیت بازگشت پذیری ژل (تشکیل حلقه هیسترسیس) در دماهای مشخص، سرعت چرخش اسپیندل از یک تا 70 rpm و سپس بر عکس، تغییر داده شد. همگن بودن و یکنواخت بودن ژل در نقاط مختلف تودهٔ ژل ساخته شده، با نمونه برداری از

۱- Batch

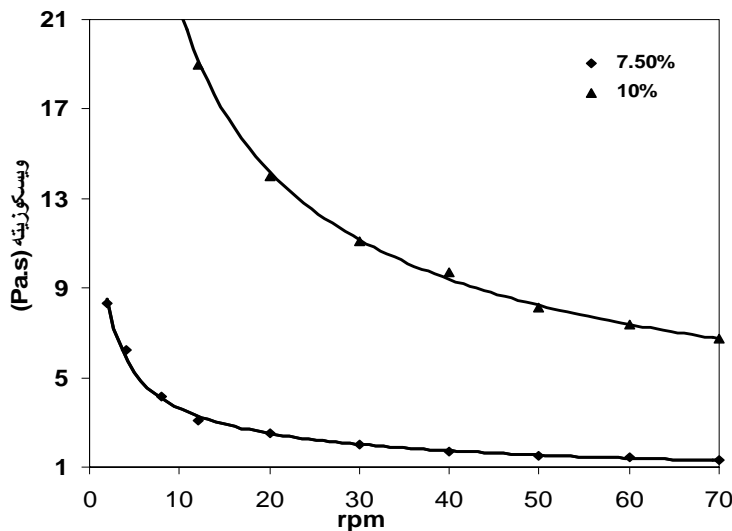
۱- Spindle

ژل با ویسکوزیته‌ی بسیار بالا ایجاد خواهد شد. درصد بهینه‌ی ژل کننده، ۷/۵ درصد بود که ژلی با کیفیت رئولوژیک مناسب ایجاد می‌کرد. از آنجا که خواص رئولوژیکی پیشرانه‌های ژل، به ترکیب درصد مواد تشکیل دهنده‌ی آنها، دما و مقدار نیروی برشی اعمال شده وابسته است، لذا مطالعات رئولوژیک در محدوده‌ی وسیعی از دما، ترکیب درصد های مختلف و نیروهای برشی متنوع انجام شد.

شکل‌های (۲) و (۳) روند تغییرات ویسکوزیته را در دو دمای ثابت در درصد های مختلف ژل کننده نشان می‌دهند. همانطور که مشخص است، با افزایش مقدار ژل کننده، ویسکوزیته به میزان زیادی افزایش یافته است. جدول (۱) ترکیب درصد ژل های مورد بررسی را نشان می‌دهد..

و ۹۰ درصد آب انجام گرفت که در نتیجه ژلی با کیفیت مطلوب ساخته شد. سیمولنت ساخته شده، رفتار رئولوژیک مناسبی را در همه دماهای مورد بررسی نشان داد. نتایج این بررسی، توسط صابری‌مقدم و همکاران [۱۷] به تفصیل بیان شده است.

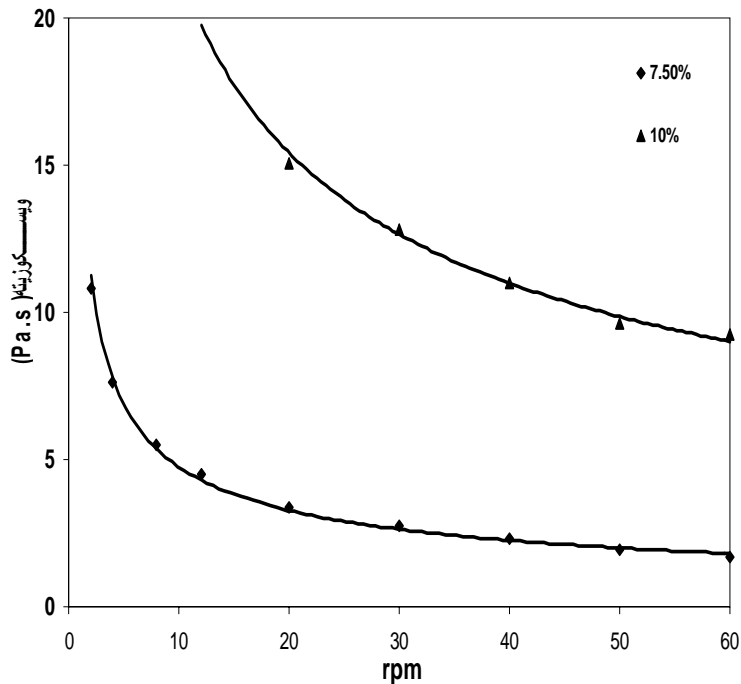
آزمایشات ساخت ژل دی متیل هیدرازین نامتقارن، با استفاده از UDMH (خلوص ۹۸٪ و دانسیته 0.79 g/cm^3)، MC (ساخت شرکت Aldrich با ویسکوزیته 1500 cP) و اسید استیک گلاسیال انجام گرفت. آزمایشات اولیه نشان داد که با ۲/۵ و ۴/۵ درصد وزنی ژل کننده، ژلی تشکیل نشد. آزمایشات با ۶، ۷/۵ و ۱۰ درصد ژل کننده، موجب تشکیل ساختار ژلی شد. نتایج آزمایشات رئولوژیکی مشخص کرد که با حداقل ۶ درصد ژل کننده، ژل تشکیل خواهد شد و وقتی که از ۱۰ درصد ژل کننده یا بیشتر استفاده شود



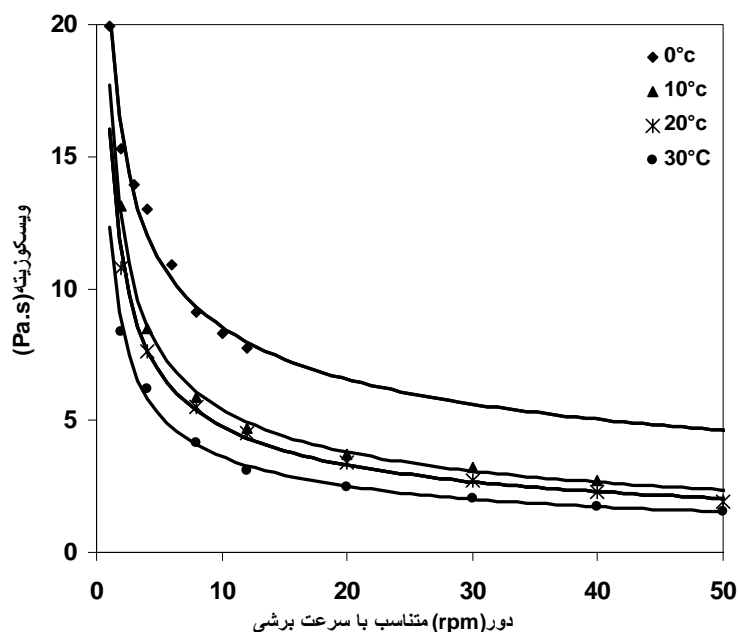
شکل ۲- تغییرات ویسکوزیته‌ی ژل UDMH با سرعت برشی(rpm)، در دمای 30°C ، با ۷/۵ و ۱۰ درصد ژلت

جدول ۱- ترکیب درصد اجزا در پیشرانه‌های ژل ساخته شده

درصد اسید استیک گلاسیال	MC	UDMH	نمونه
.	.	۱۰۰	GFU001
.	۷/۸	۹۲/۲	GFU004
۰/۵	۷/۵	۹۱/۷	GFU005
۰/۵	۶	۹۳/۵	GFU006
.	۱۰	۹۰	GFU007
۰/۵	۱۰	۸۹/۵	GFU008



شکل ۳- تغییرات ویسکوزیته‌ی پیشرانه ژل UDMH با سرعت برشی (rpm) در دمای ۲۰°C با ۷/۵ و ۱۰ درصد ژلت

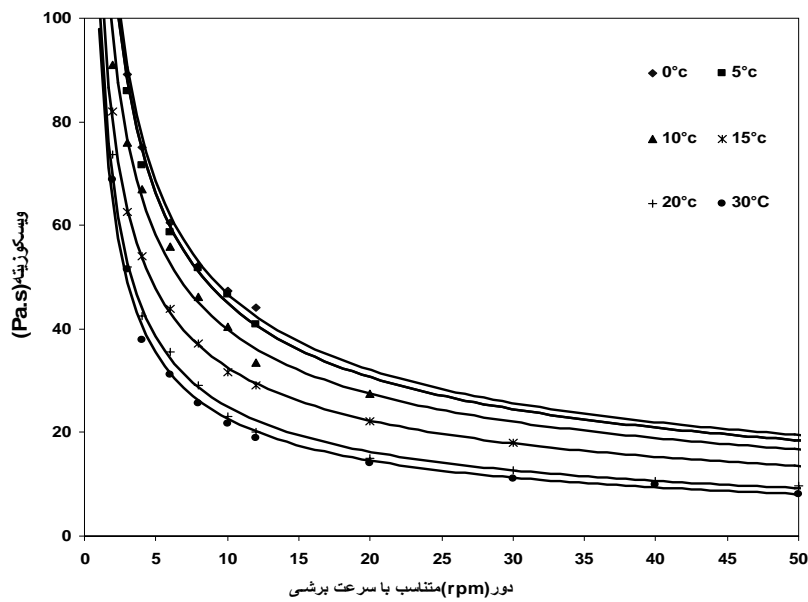


شکل ۴- تغییرات ویسکوزیته‌ی ژل UDMH با ۷/۵ درصد ژلت با سرعت برشی در دمای‌های مختلف

پراکنده تصادفی، تشکیل شبکه می‌دهند که فاز مایع را بوسیله‌ی تشکیل می‌سیل‌ها^۱ بخود جذب می‌کنند [۳].

نتایج وابستگی ویسکوزیته به سرعت برشی (متناوب با rpm) برای ۷/۵ و ۱۰ درصد ژلت در دمای‌های مختلف از صفر تا ۳۰°C در شکل‌های (۴) و (۵) نشان داده شده است. در این تحقیق، کاهش ویسکوزیته با افزایش سرعت برشی در همه‌ی دمای‌ها تایید شد. می‌دانیم که زنجیره‌های MC به صورت

۱- Micelle



شکل ۵- تغییرات ویسکوزیته ژل UDMH با ۱۰ درصد ژلنت با سرعت برشی در دماهای مختلف

شده توسط سایر محققین است [۶، ۷، ۱۰، ۱۳]. مقادیر n و K که از شکل (۶) بدست آمده اند در جدول (۲) آورده شده‌است.

به نظر می‌رسد که با افزایش دما، K کاهش می‌یابد، در حالیکه n با افزایش دما تغییرات بسیار کمی دارد. این مسئله را می‌توان بدین صورت توجیه کرد که ژل در دماهای پایین‌تر، بیشتر حالت شبه پلاستیسیته دارد و با افزایش دما ویژگی‌های نیوتونی بیشتری از خود نشان می‌دهد و n کمتر به تغییر دما حساب است. این نتایج، همانگ با کارهای انجام شده توسط سایر محققین است [۵] و [۷].

با استفاده از نرم افزار data-fit تلاش شد تا معادله‌ی نسبتاً دقیق از ارتباط سرعت برشی، دما و تنفس برشی بدست بیاید. در این تطابق، بیش از ۳۰۰ داده‌ی دما، ویسکوزیته و سرعت برشی حاصل از آزمایشات وارد شد. بررسی‌ها نشان داد که معادله‌ای بصورت معادله‌ی (۳)، همانگی بسیار خوبی با نتایج تجربی دارد. در واقع معادله‌ی (۳) از نوع معادله‌ی (۱) (پاورلا) است که در آن پارامترهای مربوطه مشخص شده‌اند. در معادله‌ی (۳)، K با توان ۶/۸۱، با دما تغییر می‌کند و n تقریباً ثابت است. در بررسی‌های بیشتر، مشخص شد که n با درصد ژلنت تغییر می‌کند. در شکل (۷)، نمودار حاصل از این معادله ۳ پارامتری مشاهده می‌شود.

$$\mu = 6.88 \times 10^{21} \times T^{-6.81} \times \gamma^{-0.57} \quad (3)$$

٪: سرعت برشی
T: دما
 μ : ویسکوزیته

۲- Psudoplastity

تحت نیروی برشی، ساختار ژلی شکسته می‌شود که جریان را روان تر می‌کند. این پدیده، تاییدی بر وجود خاصیت نازک شوندگی برشی است. نکته‌ای دیگر که در این نمودارها مشهود است، این است که با افزایش دما، میزان ویسکوزیته کاهش می‌یابد. این اتفاق ممکن است بدین صورت توجیه شود که با افزایش دما، انرژی جنبشی و حرارتی مولکول‌ها به شکست ساختار ژلی کمک می‌کند، که منجر به کاهش ویسکوزیته می‌شود. یکی از معادلاتی که می‌تواند رفتار سیالات غیر نیوتونی را تفسیر نماید از نوع پاورلا (PL) می‌باشد [۲-۱۷].

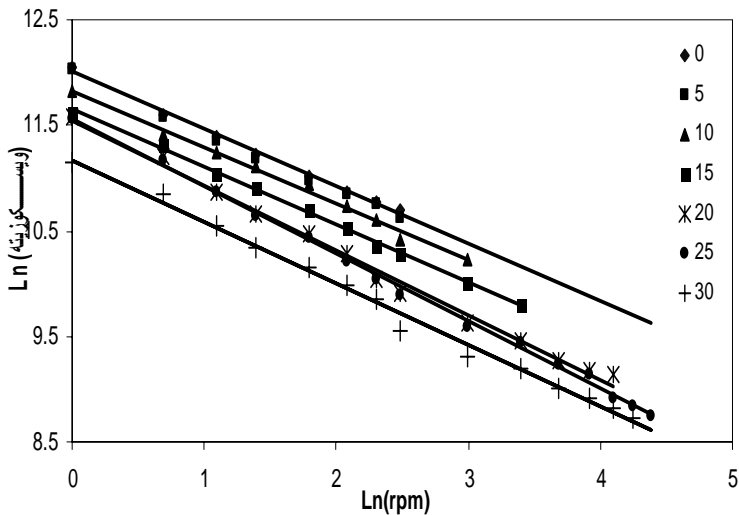
$$\tau = K \gamma^n \quad (1)$$

τ ، K ، γ و n به ترتیب تنفس برشی، ضریب ویسکوزیته، سرعت برشی و ضریب شبه پلاستیسیتی هستند. طبق معادله‌ی پاورلا (۱)، ویسکوزیته‌ی ظاهری^۱ با تنفس برشی، ارتباط دارد:

$$\mu = K \gamma^{n-1} \quad 0 < n < 1 \quad (2)$$

در تمامی دماهای، تغییرات ویسکوزیته‌ی ژل ساخته شده از قانون پاورلا تبعیت کرد ($R^2 > 99\%$). یک نمودار لگاریتمی از ویسکوزیته و سرعت برشی، برای ژل UDMH با ۷/۵ درصد ژل کنند، در شکل (۶) ارائه شده است. نتایج نشان می‌دهد که در همه‌ی دماهای نمودار لگاریتمی ویسکوزیته‌ی ظاهری (rpm) (اندازه‌گیری شده با دستگاه ویسکومتر) در مقابل سرعت برشی (Pas) بصورت خط مستقیم است. این نتیجه همانگ با رفتار رئولوژیکی توصیف

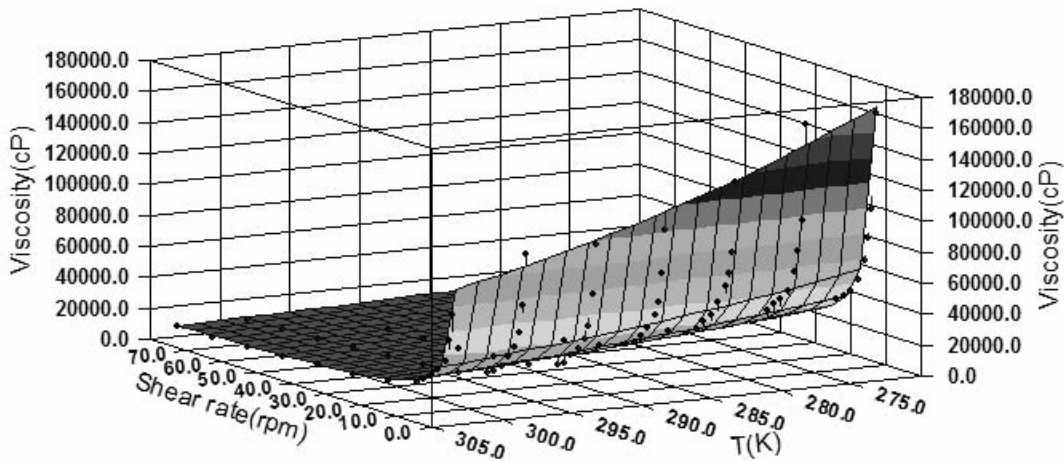
۱- Apparent viscosity



شکل ۶- نمودار رفتار توانی (PL) ژل UDMH-MC با ۱۰ درصد ژلنت MC در دماهای مختلف

جدول ۲- وابستگی درجه شبیه‌پلاستیسیته و شاخص تطابق برای ژل UDMH-MC

K	n	دما (°C)
۱۹/۳۲	۰/۶۶	صفر
۱۶/۳۷	۰/۵۱	۱۰
۱۴/۸۶	۰/۵۳	۱۵
۱۱/۳۹	۰/۵۳	۲۰
۱۰/۹۷	۰/۵۰	۳۰



شکل ۷- اثر دما و سرعت برشی، بر تغییرات ویسکوزیتی ژل UDMH-MC

شدن. سپس نمونه‌های خشک شده توزین گردیدند. بررسی‌ها نشان داد که باقیماندهٔ خشک، از همهٔ مقاطع سطح، وسط و عمق تقریباً یکسان بود که حاکی از آن است که این ژل‌ها حتی پس از تحمل شتاب ۵۰۰ g هنوز پایدار باقی مانده‌اند.

۳-۲- دانسیته

اندازهٔ گیری دانسیته نیز در دمای ۲۰ °C با روش نسبت جرم به حجم انجام شد که نتایج آن در جدول (۳) آمده است.

۳-۳- تست کالریمتري

به منظور مطالعهٔ گرمای احتراق نمونه‌های ژل ساخته شده (کالریمتري)، گرمای احتراق نمونه‌های ژل ساخته شده، ابتدا بصورت نظری و بطور تقریبی محاسبه گردید و سپس توسط کالریمتري اندازه گيری شد. جدول (۴) نتایج کالریمتري سوخت‌های ژل UDMH را نشان می‌دهد. جدول، نشان می‌دهد که گرمای احتراق محاسبه شده، با نتایج حاصل از کالریمتري، هماهنگی خوبی دارد.

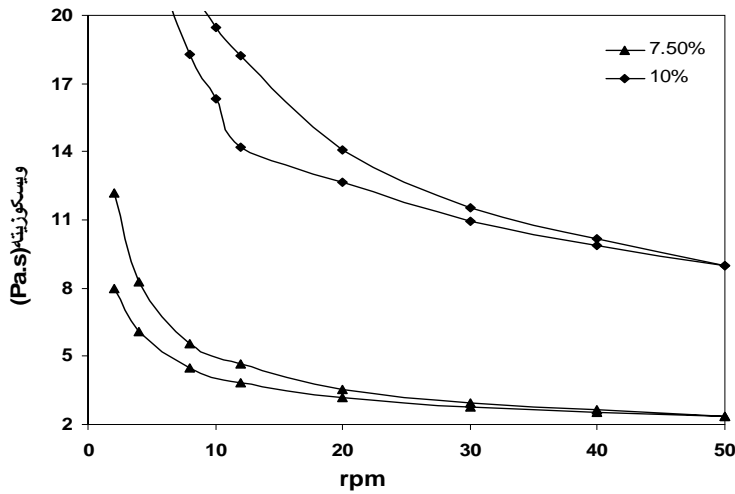
ضمناً در این بررسی با بهره‌گیری از نرمافزار Gas Dynamic Lab-Propep، مقدار I_{SP} نمونه‌های مختلف ژل با اکسید کننده N_2O_4 در نسبت بهینه محاسبه شد که در جدول (۵) آورده شده است. در این محاسبات، فشار محفظه احتراق bar ۷۰، فشار خروجی bar ۱ و دمای پیشرانه K ۲۹۸ قرار داده شد. نتایج جدول (۵)، نشان می‌دهد که افزودن ژل کننده به میزان ۸ درصد به UDMH، تنها حدود ۲ واحد I_{SP} ژل را کاهش می‌دهد. این امر با توجه به مزایاي زيادي که پیشرانه ژل در مقاييسه با پیشرانه مایع می‌تواند داشته باشد قابل توجه نیست (نمونه‌های GFU004 و GFU005). با توجه به اينکه با ژل‌سازی پیشرانه‌ها، آنها قابلیت بارگذاري پيدا می‌کنند، لذا به اين ژل می‌توان پودرهای فلزی افزوود که در اين صورت نه تنها ايمپالس ويزه بطور قابل توجهی افزایش می‌يابد (و نقيصهٔ فوق الذكر رفع می‌گردد) بلکه دانسيتهٔ پیشرانه نيز بخوبی ترقی می‌کند و اين امر بطور موثری پارامتر مهم I_{SP} را افزایش می‌دهد. جدول (۵) حدود دانسيته پیشرانه‌های نمونه و نيز حاصل ضرب I_{SP} که پارامتر مهمی در ارزیابی پیشرانه‌ها می‌باشد را نشان می‌دهد. با ژل کردن پیشرانه، اين پارامتر افزایش يافته که با افزودن پودر فلزی، اين افزایش بسیار چشمگیر تر خواهد بود.

مقدار ويسکوزите با افزایش سرعت برشی(رفت) و سپس کاهش سرعت برشی(برگشت) در يك دمای ثابت برای ژل‌های مختلف ثبت گردید (شکل (۸)). دو منحنی، هیچ برخوردي با يكديگر نداشتند و يك ناحيه بين دو منحنی تشکيل می شود که به آن حلقه هيسترسيس می‌گويند [۵]، [۷]، [۱۷]. مساحت حلقه، بسته به سرعت شکستن پيوندهای بين مولکول‌های ژل و دوباره تشکيل شدن آن‌ها تعديل می‌کند، که نمودارهای حاصله به خوبی برگشت‌پذير بودن ژل تشکيل شده را نشان می‌دهند.

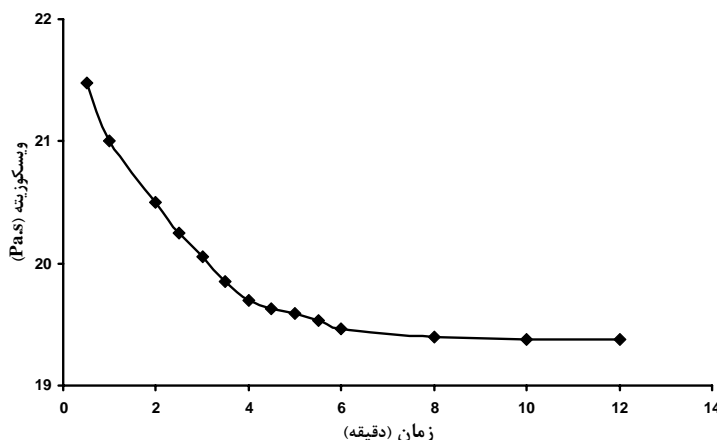
نتایج تعیيرات ويسکوزитеٔ ژل با زمان، در سرعت برشی مشخص در شکل (۹) نشان داده شده است. مشخص شد که با گذشت زمان در سرعت برشی ثابت و دمای ثابت، ويسکوزитеٔ کاهش می‌يابد که تاييدی بر خاصیت تيكسوتروپیک ژل‌های ساخته شده است. تعیيرات ويسکوزитеٔ در زمان های اولیهٔ حرکت ژل، زياد است و به مرور با گذشت زمان اين تعیيرات، کاهش يافته و در زمان های طولاني، ويسکوزитеٔ ژل ثابت می‌ماند.

۳-۱- تست پايداري

از آنجا که پیشرانه ژل باید برای مدت نسبتاً طولاني پايدار بماند، تست پايداري، اهميت ويزه ای دارد. ناپايداري ژل‌ها ممکن است به دو صورت اتفاق بیافتد، يكی جدا شدن مایع (پیشرانه) از توده ژلی که به عرق کردن معروف است و دیگری تعیير تركيب درصد مواد در مقاطع مختلف ژل که موجب ناهمنگی در توده ژلی می‌گردد. به منظور بررسی پايداري ژل‌های ساخته شده، آنها برای مدت ۳۰ دقیقه در سانتريفيوز تحت شتاب ۵۰۰ g (۲۸۰۰-۳۰۰۰ rpm) قرار گرفتند که پديده عرق کردن در ژل‌های ساخته شده وجود نداشت و هیچ مایعی در سطح نمونه‌ها پس از سانتريفيوز مشاهده نشد و مقدار از دست رفتن UDMH در آزمایش فوق در اثر تبخير، کمتر از زير ۱۰ درصد بود که با توجه به فارييت بالاي UDMH و ايکنه تست‌های فوق، با ظروف در باز در سانتريفيوز صورت گرفته، امری عادي و قابل قبول است و با تحقیقات انجام شده توسط سایر محققین هماهنگی دارد [۷]. به منظور مطالعه دقیق تر پايدار بودن ژل‌های ساخته شده، پس از عمل سانتريفيوز از ظروف نمونه هر ژل از سه مقطع سطح، وسط و عمق آنها نمونه‌برداری شد و نمونه‌ها توزین شده و به مدت يك شب و در دمای حدود ۵ °C و خلاه حدود ۵۰۰ mbar خشک



شکل ۸- برگشتپذیری ژل های UDMH (تشکیل حلقه هیسترسیس) در دمای ۱۵ °C در درصدهای مختلف ژل کننده



شکل ۹- نمودار تغییرات ویسکوزیته ژل UDMH حاوی ۱۰ درصد ژلت با زمان (اثر تیکسوتropیک) در ۲۰ rpm و ۲۰ °C

جدول ۳- دانسیته تئوری (محاسباتی) و تجربی نمونه های ژل UDMH ساخته شده در دمای ۲۰ °C

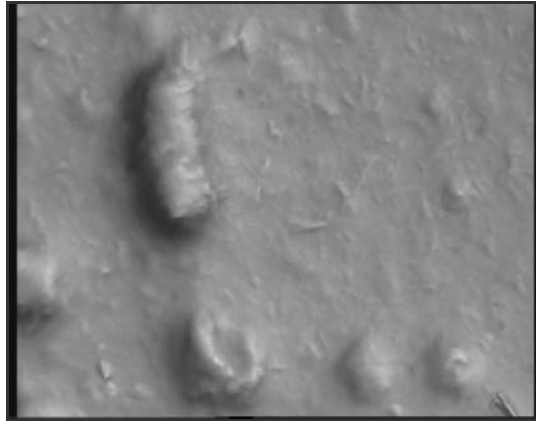
چگالی تئوری (gr. cm ⁻³)	چگالی تجربی (gr. cm ⁻³)	حجم (cm ⁻³)	جرم نمونه (gr)	نمونه
۰/۸۲۹	۰/۸۲۷	۱۱/۶	۹/۶۰۱۶	GFU004
۰/۸۳۱	۰/۸۵۵	۱۱/۹	۱۰/۱۸۲۱	GFU005

جدول ۴- مقایسه گرمای احتراق محاسباتی و گرمای احتراق حاصل از بمب کالریمتری

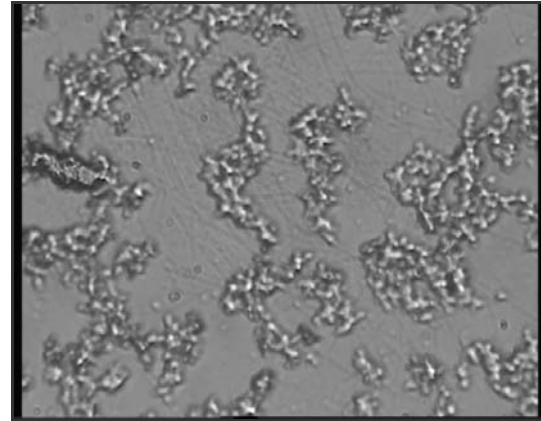
درصد اختلاف	آنالی تئوری (ژول بر گرم)	آنالی تجربی (ژول بر گرم)	نمونه
+۷	۳۲۳۹۹/۷	۳۰۰۹۲	GFU001
-۲	۳۱۲۳۲	۳۱۹۶۳	GFU004
-۰/۷	۳۱۳۷۰/۲	۳۱۵۸۸	GFU005

جدول ۵- مقادیر I_{SP} محاسبه شده با نرم افزار Propep در مقدار بهینه ای اکسید کننده N_2O_4

$\rho \cdot I_{SP}$	$\rho (\text{gr. cm}^{-3})$	$I_{SP} (\text{s})$	N_2O_4 گرم	نمونه
۲۱۹/۳۰	۰/۷۹	۲۷۷/۶	۲۱۰	GFU001
۲۲۷/۹۲	۰/۸۲۷	۲۷۵/۶	۲۱۰	GFU004
۲۳۵/۵۵	۰/۸۵۵	۲۷۵/۵	۲۰۰	GFU005



(a)



(b)

شکل ۱۰- عکس برداری از نمونه GFU005 با استفاده از میکروسکوپ نوری (a- با بزرگنمایی ۱۰۰ و b- با بزرگنمایی ۴۰۰)

نرخ تا دمای محیط گرم گردید. در این فرایند هیچگونه تغییری که نشان دهنده T_g باشد، مشاهده نگردید.

۴. نتیجه‌گیری

ساخت ژل سوخت موشکی UDMH، با استفاده از ژل کننده MC انجام شد. مناسب ترین درصد ژل کننده برای ساخت ژل، ۷/۵ درصد بود. ژل های ساخته شده رفتار نازک شوندگی برشی و تیکسوتروبیک داشتند و تووانایی بازگشت به حالت قبلی را پس از اعمال سرعت برشی بخوبی نشان می دادند (تشکیل حلقه هیسترسیس). نتایج رئولوژیکی ژل های ساخته شده در دمای (تشکیل حلقه هیسترسیس). نتایج رئولوژیکی ژل داده شده در دمای محیط و سرعت های برشی مختلف با مدلی از نوع پاورلا هماهنگی خوبی نشان می داد. گرچه شاخص تطابق (K) تا حدی با دما در سرعت های برشی مختلف تغییر می کرد، با این وجود، ضریب شبه پلاستیسیته (n) تغییرات چندانی با دما نداشت و در محدوده دمایی صفر تا ۳۰°C از ۰/۶۶ به ۰/۵ کاهش می یافت.

۴-۳- میکروسکوپ نوری

به منظور بررسی ساختار ژلی و بطور کلی مشاهده اینکه آیا ژل، تشکیل شده است یا نه، از نمونه ها توسط میکروسکوپ نوری، عکس برداری صورت گرفت. شکل (۱۰) عکس نمونه GFU005 را برای دو بزرگنمایی مختلف نشان می دهد.

شکل (۱۰-a) نشان می دهد که، ذرات MC، UDMH را جذب کرده اند و متورم شده اند و UDMH مایع را در خود گیر انداخته اند. در شکل (۱۰-b)، زنجیره های متورم تشکیل شده توسط MC مشاهده می شود که زنجیره های کوچکتر نیز به آنها متصل هستند.

۵-۳- DSC

رفتار ژل ساخته شده (GFU005) با استفاده از سیستم DSC از دمای محیط تا ۴۵°C مورد بررسی قرار گرفت. نمونه با نرخ ۳ درجه سانتی گراد بر دقیقه از دمای محیط تا دمای ۴۵ درجه سانتی گراد سرد شد و مجدداً با همین

۵. فهرست عالیم

- [7]. Varghese, T.L., Gaindhar, S.C., John D., Josekutty J., Muthiah, Rm., Rao, S.S., Ninan, K.N. and Krishnamurthy, V.N., "Developmental Studies on metallized UDMH and Kerosene Gels," Defense Science Journal, Vol. 45, No. 1, pp.25-30, January (1995).
- [8]. Allan, B.D., "Gelled Monomethyl Hydrazine Thixotropic Fuel," U.S. Patent 4,039,360, Aug.,(1977).
- [9]. Varghase, T.L., Prabhakaran, N., Thanki, K.P., Subramanian, S., Rao, S.S., Ninan, K.N. and Krishnamurthy, V.N., "Performance Evaluation and Experimental Studies on Metallised Gel Propellant", Defense Science Journal, Vol. 49, No. 1, pp.71-78, January (1999).
- [10]. Rahimi, S., Hasan, D., Peretz, A., "Development of Laboratory-Scale Gel-Propulsion Technology", J. of Propulsion and Power, Vol. 20, No. 1, pp. 93-99,(2004).
- [11]. Sippel, N.J., "Hydrazine Gel Composition," U.S. Patent 3,821,043, June,(1974).
- [12]. Thompson, D.M., "Amine Azides Used as Monopropellants," U.S. Patent No. 6,299,654, Oct.,(2001).
- [13]. Varghase, T.L., Prabhakaran, N., Thanki, K.P., Subramanian, S., Rao, S.S., Ninan, K.N. and Krishnamurthy, V.N., "Performance Evaluation and Experimental Studies on Metallised Gel Propellant", Defense Science Journal, Vol. 49, No. 1, pp.71-78, January (1999).
- [14]. Muller, K.F. and Cziesla, M.J., "MonopropellantComposition Including Hydroxylamine Perchlorate," U.S. Patent 3,730,789, May,(1973).
- [15]. Trannenbaum, S., "Heterogeneous Monopropellant Compositions and THRUST Producing Method," U.S. Patent 3, 921, 394, Nov., (1975).
- [16]. Barry, Allan, D., "Thixotropic IRFNA Gel", U.S. Patent 6, 165, 23, May (2000).
- [۱۷]. صابری مقدم، علی؛ اکبر آبادی، مرتضی؛ "روش های ساخت پیشرانه های دوتایی ژل و بررسی رفتار ژل سیمولنت $MC-H_2O$ ، مجله علمی - پژوهشی مواد پر انرژی سال دوم، شماره ۱، (بهار و تابستان ۸۶).

K	ضریب ویسکوزیته
MC	متیل سلولر
n	ضریب شبه پلاستیسیته
PL	مدل رئولوژیکی پاورلا
rpm	دور بر دقیقه
T	دما
UDMH	دی متیل هیدرازین نامتقارن
γ	سرعت برشی
τ	تنش برشی

۶. مراجع

- [۱]. صابری مقدم، علی؛ اکبر آبادی، مرتضی؛ "مستندات پژوهه های پیشرانه های ژل، جلد اول: پیشرانه های ژل،" دانشگاه صنعتی مالک اشتر، ۱۳۸۵
- [2]. Natan, B., and Rahimi, S., "The status of Gel Propellants in Year 2000", in K. K. Kuo and L. deluca (ed), Combustion of Energetic Materials, pp. 172-194, Begell House, Boca Raton,(2002).
- [3]. Sutton P., "Rocket Propulsion Elements" John Wiley & Sons, New York, 7th ed.,(2001).
- [4]. Coguill, S. L., "Synthesis of Highly Loaded Gelled Proplants, http://www.resodyn.com/whatsNew/files/35_MicrosoftWord20-AICHEResodyn Final Draft. PDF.(2003).
- [5]. Gupta, B.L., Varma, M. and Munjal, N. L., "Rheological Studies on Virgin and Metallized Unsymmetrical Dimethyl Hydrazine," Propellants, Explosives, Pyrotechnics, Vol. 11, No. 2, pp. 45-52, (1986).
- [6]. Munjal, N.L., Gupta, B.L. and Varma, M., "Preparative and Mechanistic Studies on Unsymmetrical Dimethyl Hydrazine - Red Fuming Nitric Acid Liquid Propellant Gels," Propellants, Explosives, Pyrotechnics, Vol. 10, No. 4, pp. 111-117, (1985).